# NORME INTERNATIONALE INTERNATIONAL STANDARD



Commission Electrotechnique Internationale International Electrotechnical Commission

Международная Электротехническая Комиссия

Modification n° 1 à la Publication 96-1

Câbles pour fréquences radioélectriques

Première partie: Prescriptions générales et mêthodes de mesure

Amendment No. 1 to Publication 96-1

Radio-frequency cables

Part 1: General requirements and measuring methods

CEI IEC 96-1

1986

MODIFICATION
n° 1
AMENDMENT
No. 1

Mars 1988 March

#### **PRÉFACE**

La présente modification a été établie par le Sous-Comité 46A: Câbles pour fréquences radioélectriques, du Comité d'Etudes n° 46 de la CEI: Câbles, fils et guides d'ondes pour équipements de télécommunications.

Le texte de cette modification est issu des documents suivants:

Règle des Six Mois	Rapport de vote
46 A(BC)113	46 A(BC)114

Le rapport de vote indiqué dans le tableau ci-dessus donne toute information sur le vote ayant abouti à l'approbation de cette modification.

La publication suivante du C.I.S.P.R. est citée dans la présente modification:

Publication n° 8B (1975): Deuxième complément à la Publication CXS.R. 8 (1969). Rapports et Questions à l'étude du C.I.S.P.R., Modification n° 1 (1980).

### Page 62

#### A5. Efficacité d'écran

Ajouter, page 72, les nouveaux paragraphes suivants:

A5.5 Affaiblissement d'ecran: pince absorbante

#### A5.5.1 Généralitès

Cette méthode de mesure de l'affaiblissement d'écran dans la bande de fréquences comprise entre 30 MHz et 1000 MHz avec la pince absorbante est prévue pour les câbles coaxiaux pour fréquences radioèlectriques utilisés dans les systèmes de réception et de distribution des émissions de radio et de télévision par câble.

L'écran du câble, qui est habituellement le conducteur extérieur du câble coaxial, joue le rôle d'une antenne d'émission ou de réception. La puissance rayonnée est couplée à l'intérieur on à l'extérieur de façon continue sur toute la longueur du câble. Le couplage mutuel du câble et de l'environnement peut être supposé comme étant réciproque.

Le câble, en tant que système primaire, est alimenté par la puissance  $P_1$ . En raison du couplage électromagnétique entre le câble et l'environnement, des ondes de surface sont excitées et propagées dans les deux directions le long de la surface du câble. Les courants de surface sont mesurés sur une base directionnelle à l'aide d'un dispositif comprenant un transformateur de courant pour capter la puissance des ondes de surface, et un dispositif absorbant (habituellement un tube de ferrite). Les combinaisons de cette sorte sont connues comme pinces absorbantes. Sur la base des valeurs de crête des courants de surface mesurés, il est possible de calculer la puissance maximale  $P_{2\,\text{max}}$  dans le système secondaire formé par le conducteur extérieur du câble et l'environnement.

Le logarithme du rapport des puissances  $P_1$  et  $P_{2 \text{ max}}$  est appelé affaiblissement d'écran.

#### **PREFACE**

This amendment has been prepared by Sub-Committee 46A: R.F. Cables, of IEC Technical Committee No. 46: Cables, Wires and Waveguides for Telecommunication Equipment.

The text of this amendment is based on the following documents:

Six Months' Rule	Report on Voting
46A(CO)113	46A(CO)114

Full information on the voting for the approval of this amendment can be found in the Voting Report indicated in the above table.

The following C.I.S.P.R. publication is quoted in this amendment:

Publication No. 8B (1975): Second supplement to Publication C.I.S.P.R. 8 (1969): Reports and Study Questions of the C.I.S.P.R., Amendment No. 1 (1980).

#### Page 63

## A5. Screening efficiency

Add the following new sub-clauses on page 73:

A5.5 Screening attenuation: absorbing clamp

#### A5.5.1 General

This absorbing clamp method of measuring screening attenuation in the frequency range 30 MHz to 1000 MHz is intended for radio-frequency coaxial cables used in broadcast receiving and distribution systems, including cable television systems.

The cable screen, which is usually the outer conductor of the coaxial cable, acts as a radiating or receiving antenna. The radiated power is coupled in or out continuously along the entire length of the cable. The mutual coupling of cable and environment can be assumed to be reciprocal.

The cable, as the primary system, is fed with the power  $P_1$ . Due to the electromagnetic coupling between the cable and the environment, surface waves are excited and propagated in both directions along the cable surface. The surface currents are measured on a directional basis with an arrangement containing a current transformer for picking up the power of the surface waves, and an absorber (usually a ferrite tube). Combinations of this kind are known as absorbing clamps. On the basis of the peak values of the measured surface currents it is possible to calculate the maximum power  $P_{2 \text{ max}}$  in the secondary system formed by the outer conductor of the cable and the environment.

The logarithmic ratio of the powers  $P_1$  and  $P_{2 \text{ max}}$  is termed the screening attenuation.

L'affaiblissement de la ligne constituée par l'éprouvette de câble, qui est habituellement court, est négligé.

Le courant de surface peut être mesuré:

- a) à des fréquences fixes avec une pince absorbante mobile;
- b) en balayage de fréquence avec une pince fixe;
- c) en balayage de fréquence avec une pince mobile.

#### A5.5.2 *Méthode 1: Mesure directe (figure 1-(A5.5))*

Le trou de passage dans la pince absorbante est plus grand que le diamètre de l'échantillon de câble.

Les figures 1a-(A5.5) et 1b-(A5.5) sont des schémas des dispositifs de mesure des ondes de surface arrivant respectivement aux extrémités éloignées et proches de l'échantillon, considérées à partir du générateur. Les valeurs de crête des courants doivent être mesurées conformément aux points a), b) ou c) du paragraphe A5.5.1.

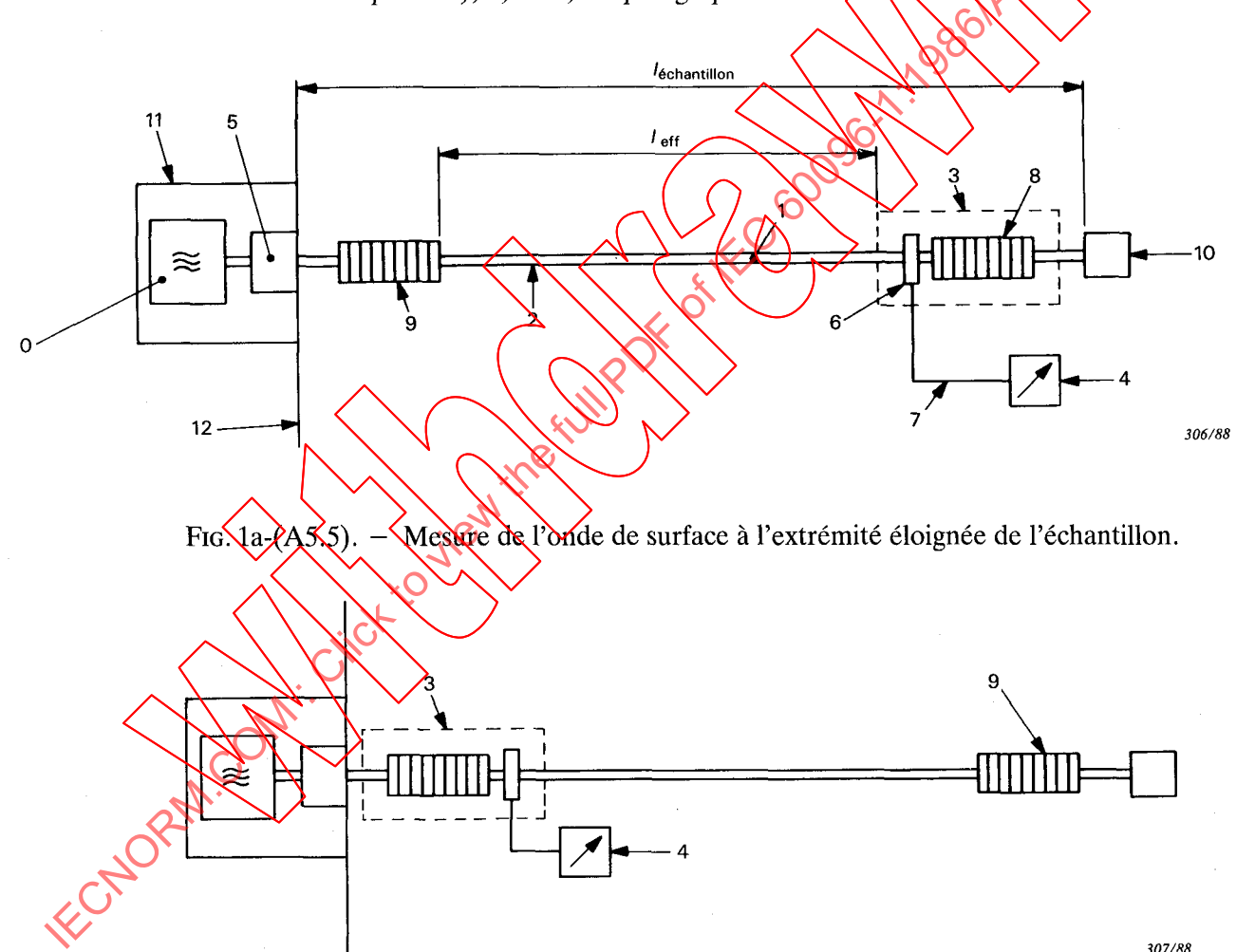


Fig. 1b-(A5.5). – Mesure de l'onde de surface à l'extrémité proche de l'échantillon.

Fig. 1-(A5.5). – Mesure directe.

The line attenuation of the test specimen, which is usually short, is disregarded.

The surface current can be measured:

- a) at fixed frequencies with a moving absorbing clamp;
- b) on a swept-frequency basis with a stationary clamp;
- c) on a swept-frequency basis with a moving clamp.

#### A5.5.2 Method 1: Direct measurement (Figure 1-(A5.5))

The bore in the absorbing clamp is larger than the diameter of the cable sample.

Figures 1a-(A5.5) and 1b-(A5.5) are schematic diagrams of the arrangements for measuring the surface waves arriving at the far end and the near end of the sample, respectively, as viewed from the generator. The peak values of the currents shall be measured according to terms a), b) or c) of Sub-clause A5.5.1.

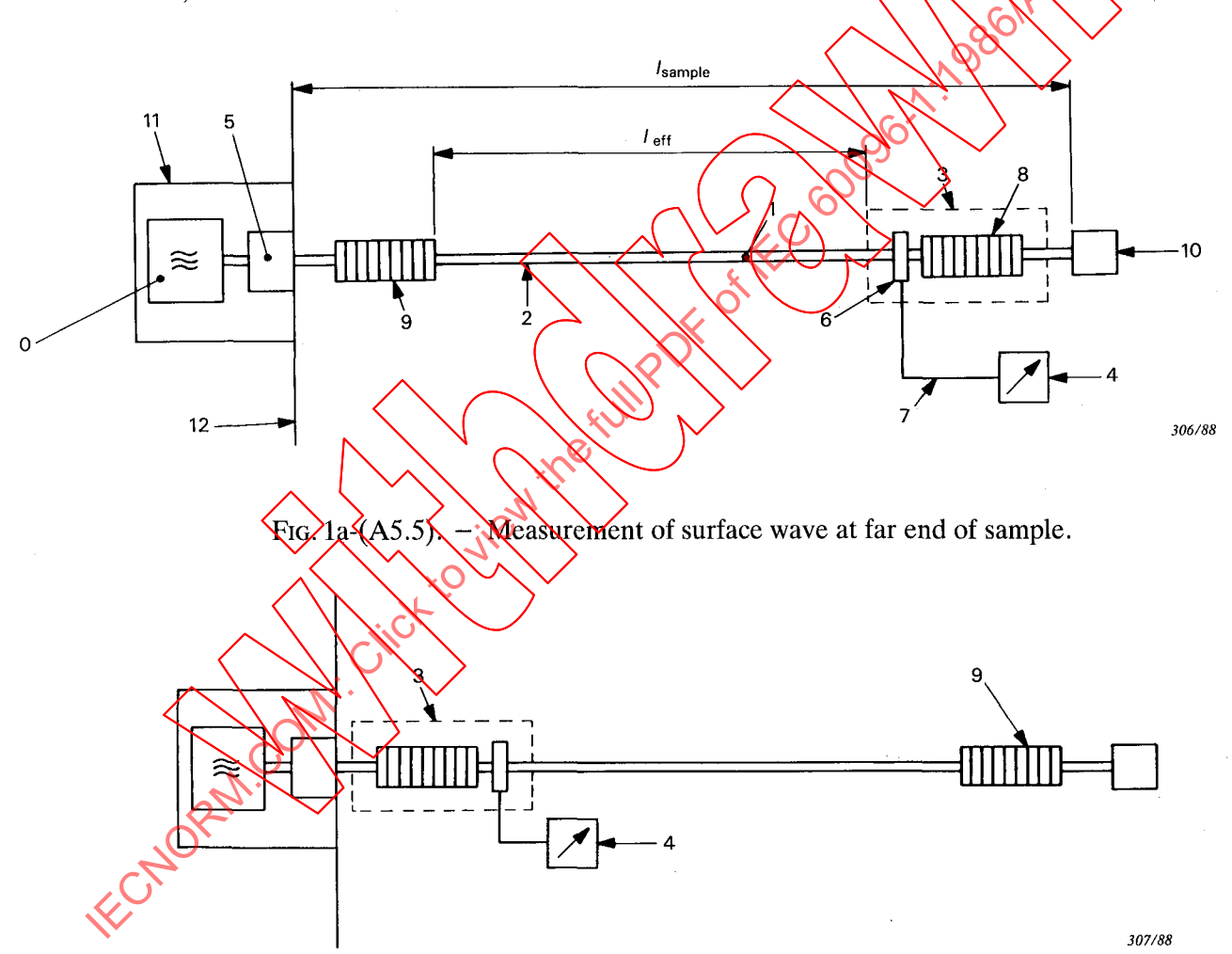


Fig. 1b-(A5.5). – Measurement of surface wave at near end of sample.

Fig. 1-(A5.5). – Direct measurement.

Référence	Désignation
0	Générateur de fréquences radioélectriques (f. r.), impédance de sortie $Z_0$
1	Echantillon de câble, impédance caractéristique $Z_1$
2	Circuit extérieur du conducteur extérieur, impédance caractéristique $Z_2$
3	Pince absorbante, impédance $Z_3$
4	Récepteur de mesure
5	Réseau d'adaptation, si $Z_0 \neq Z_1$ (utiliser le même pour la mesure et l'étalonnage)
6	Transformateur de courant
7	Câble de liaison du récepteur de mesure (utiliser le même pour la mesure et l'étalonnage)
8	Dispositif absorbant (tube de ferrite) de la pince, affaiblissement > 10 dB
9	Deuxième dispositif absorbant (ou deuxième pince), affaiblissement > 10 dB
10	Impédance de charge $Z_1$ de l'échantillon de câble
11	Ecran du générateur f.r.
12	Réflecteur
$l_{ m \acute{e}chantillon}$	Longueur totale de l'échantillon de câble
$l_{ m eff}$	Longueur effective de l'échantillon de câble

# A5.5.3 Méthode 2: Mesure avec lignes de prolongation (figure 2-(x5.5))

Si le trou de passage de la pince absorbante est plus petit que le diamètre de l'éprouvette, l'échantillon de câble (figure 2-(A5.5)) doit être complétée aux deux extrémités par des lignes de prolongation plus petites. Les lignes de prolongation doivent avoir un affaiblissement d'écran bien meilleur que l'éprouvette. Si possible, il convient d'utiliser des lignes avec un conducteur extérieur tubulaire.

Les mesures doivent être effectuées aux deux extrémités de l'échantillon. En raison du fait que les courants de surface varient selon le lieu et la fréquence, les valeurs de crête doivent être mesurées en balayage de fréquence conformement au point b) du paragraphe A5.5.1.

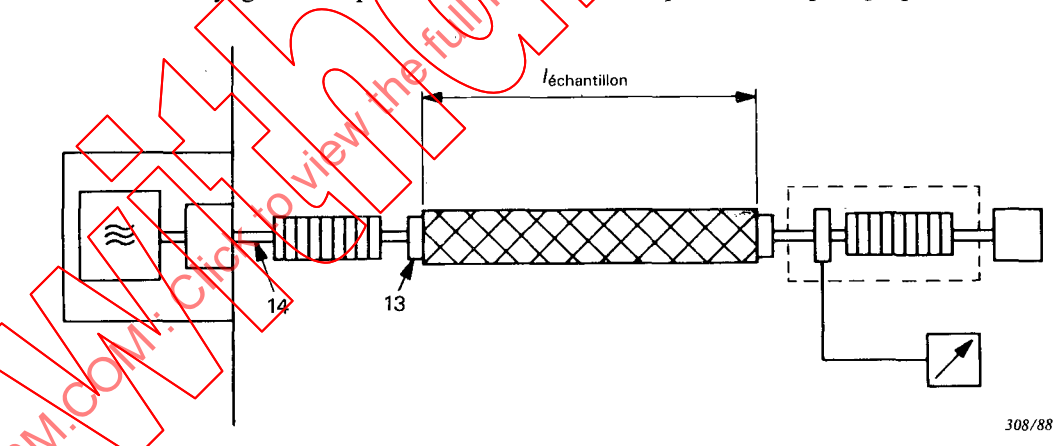


Fig. 2-(A5.5). – Mesure avec lignes de prolongation.

Mesure de l'onde de surface à l'extrémité éloignée.

Mesure de l'onde de surface à l'extrémité proche, conformément à la figure 1b-(A5.5).

Référence Désignation
 13 Transition de câble dénuée de réflexion
 14 Lignes de prolongation

Tous les autres dispositifs sont identiques à ceux de la figure 1-(A5.5).

Reference	Item
0	R.F. generator, output impedance $Z_0$
1	Cable sample, characteristic impedance $Z_1$
2	Outer circuit of outer conductor, characteristic impedance $Z_2$
3	Absorbing clamp, impedance $Z_3$
4	Measuring receiver
5	Matching network, if $Z_0 \neq Z_1$ (use the same in measurement and calibration)
6	Current transformer
7	Measuring receiver line (use the same in measurement and calibration)
8	Absorber (ferrite tube) of the clamp, attenuation > 10 dB
9	Second absorber (or second clamp), attenuation > 10 dB
10	Termination $Z_1$ of cable sample
11	Shield of r. f. generator
12	Reflector plate
$l_{\mathrm{sample}}$	Total length of cable sample
$l_{ m eff}$	Effective length of cable sample

A5.5.3 Method 2: Measurement with extension lines (Figure 2-(A5.5))

If the bore of the absorbing clamp is smaller than the diameter of the test specimen, the cable sample (Figure 2-(A5.5)) shall be extended at both ends by means of smaller indicator lines. The extension lines shall have a much better screening attenuation than the test specimen. If possible, lines with a tubular outer conductor should be used.

Measurements shall be performed at both ends of the sample. Owing to the fact that the surface currents vary according to locality and frequency, the peak values shall be measured on a swept-frequency basis in accordance with Item b) of Sub-clause A5.5.1.

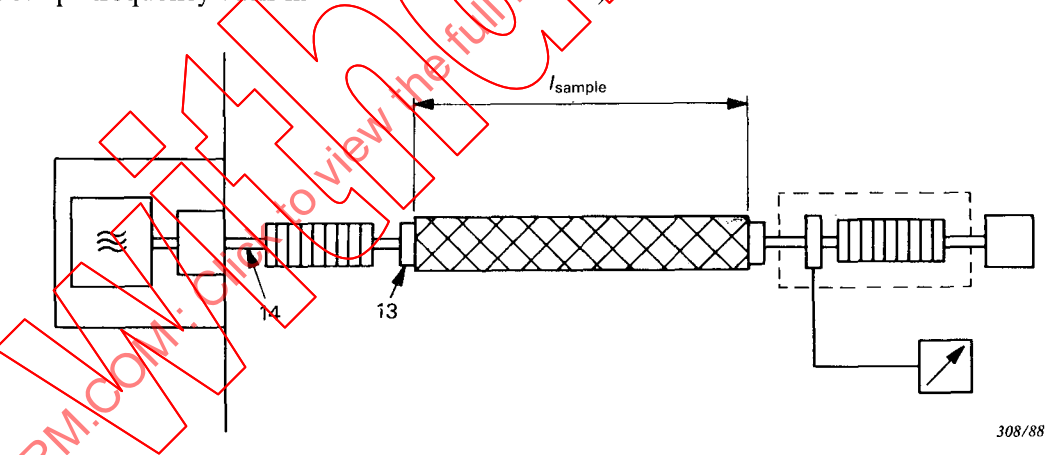


Fig. 2-(A5.5). — Measurement with extension lines.

Measurement of the surface wave at the far end.

Measurement of the surface wave at the near end as in Figure 1b-(A5.5).

Reference Item
13 Reflection-free cable transition
14 Extension lines

All other items as in Figure 1-(A5.5).

#### A5.5.4 Instructions et précautions générales

Le générateur de fréquences radioélectriques doit être soigneusement blindé, si nécessaire au moyen d'une cage de Faraday. Lorsque l'on utilise une cage de Faraday, le générateur et le réseau d'adaptation doivent être logés dans la cage de Faraday. Directement en face du générateur, dresser un réflecteur métallique vertical dont la hauteur et la largeur doivent être chacune d'au moins 800 mm. Le réflecteur est relié au boîtier du générateur et comporte un trou central pour laisser traverser le câble en essai.

L'échantillon de câble est disposé sur une table non métallique. Aucun objet métallique, ni aucune personne, ne doit se trouver à moins de 800 mm de l'échantillon de câble dans toute direction perpendiculaire à l'axe du câble (voir figure 3-(A5.5)).

Tous les connecteurs, les pièces de raccordement et les câbles de raccordement doivent être montés soigneusement pour réduire au minimum les fuites f. r. En cas de doute, l'affaiblissement d'écran du dispositif de mesure doit être essayé en remplaçant l'éprouvette par un câble avec un conducteur extérieur tubulaire. L'affaiblissement d'écran mesure dans ce cas doit être supérieur d'au moins 10 dB à celui de l'éprouvette.

Si une sensibilité de mesure de 100 dB ou plus est nécessaire, les précautions de blindage indiquées à la figure 5 de la Modification n° 1 à la Rublication C.I.S.P.R. 8B doivent être appliquées.

L'échantillon de câble doit être placé dans l'axe du transformateur de courant.

La longueur effective minimale de l'échantillon doit être conforme au paragraphe A5.5.9.

Notes 1. — Si les parties générateur et récepteur sont convenablement découplées, on peut utiliser d'autres instruments, par exemple un appareil comprenant un genérateur et un récepteur de mesure combinés.

 Il est recommandé d'avoir un revêtement de soi métallique, d'environ 1 m de large, sous l'échantillon de câble.

#### A5.5.4 General instructions and precautions

The radio-frequency generator shall be carefully shielded, if necessary by means of a shielding case. Where a shielding case is used the generator and the matching network shall be housed in the shielding case. Directly in front of the generator a vertical metallic reflector plate shall be erected, whose height and width shall each be at least 800 mm. The plate is connected to the generator housing and has a central hole to accommodate the cable under test.

The cable sample is laid on a non-metallic table. No metallic object or person shall be closer than 800 mm to the cable sample in any direction that is normal to the axis of the cable (see Figure 3-(A5.5)).

All connectors, connecting pieces and connecting cables shall be carefully mounted to minimize r.f. leakage. In case of doubt, the screening attenuation of the measuring arrangement shall be tested by replacing the test specimen by a cable with a tubular outer conductor. The screening attenuation measured in this case shall be at least 10 dB above that of the test specimen.

If a measurement sensitivity of 100 dB or more is required, the shielding precautions shown in Figure 5 of Amendment No. 1 to Publication C.I.S.P.R. 8B shall be applied.

The cable sample shall be positioned centrally in the current transformer.

The minimum effective length of the sample shall comply with Sub-clause A5.5.9.

Notes 1. — If the generator and receiver sections are adequately decoupled other instruments can be used, for example a combined level oscillator and measuring receiver.

2. — It is advisable to have a metal floor covering, about 1 m wide, under the cable sample.



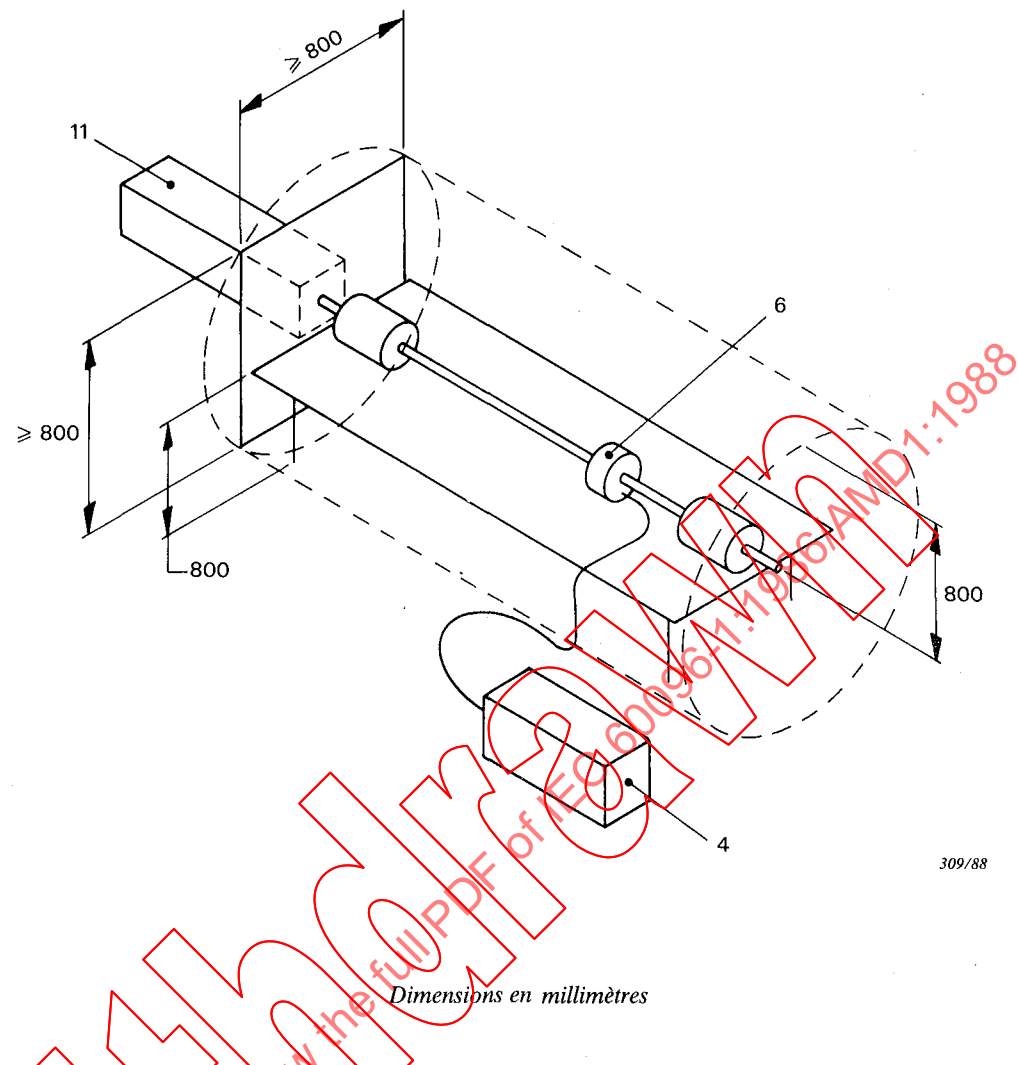


Fig. 3-(A\$.5). Dispositifs de blindage.

Dispositifs identiques à ceux de la figure 1-(A5.5).

# A5.5.5 Détermination de l'affaiblissement d'écran

L'affaibhssement d'écran as est donné par:

$$a_{\rm S} = 10 \log_{10} \frac{P_1}{P_{2,\rm n} + P_{2,\rm f}}$$

où:

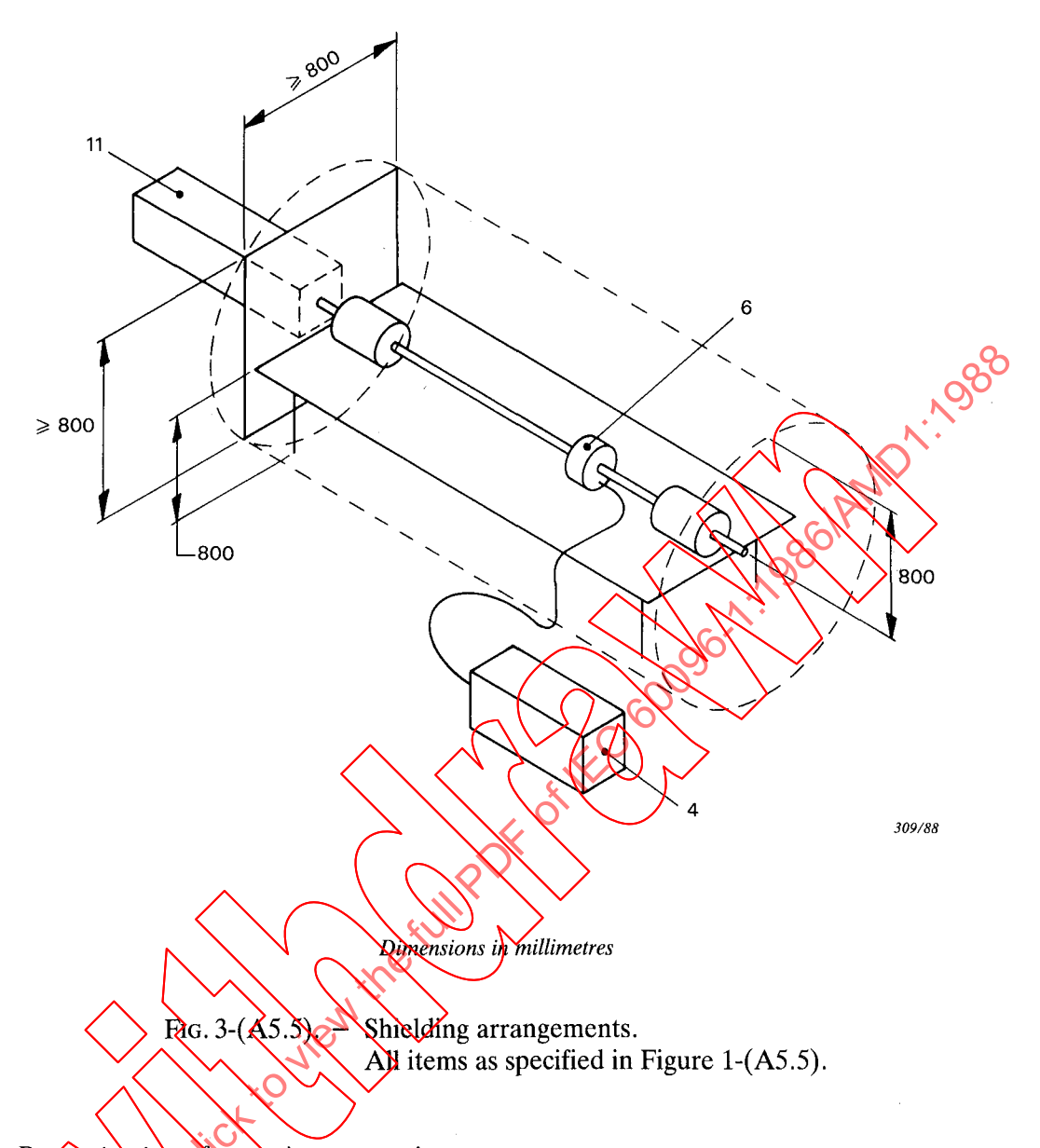
 $P_1$  = puissance d'entrée du circuit intérieur de l'échantillon

 $P_{2,n}$  = puissance diaphonique maximale à l'extrémité proche du circuit extérieur adapté

P<sub>2.f</sub> = puissance diaphonique maximale à l'extrémité éloignée du circuit extérieur adapté

Les puissances mesurées (indiquées par le récepteur de mesure, équipement n° 4) sont  $P_{4,n}$  et  $P_{4,f}$  respectivement. D'où l'on a:

$$a_{\rm S} = 10 \log_{10} \frac{P_0}{P_{4,\rm n} + P_{4,\rm f}} - a_{\rm M}$$



# A5.5.5 Determination of creening attenuation

The screening attenuation  $a_s$  is given by:

$$a_{\rm S} = 10 \log_{10} \frac{P_1}{P_{2,\rm n} + P_{2,\rm f}}$$

where:

 $P_1$  = input power of inner circuit of the sample

 $P_{2,n}$  = maximum near end cross-talk power of the matched outer circuit

 $P_{2,f}$  = maximum far end cross-talk power of the matched outer circuit

The measured powers (indicated by the measuring receiver, equipment No. 4) are  $P_{4,n}$  and  $P_{4,f}$  respectively. Hence we have:

$$a_{\rm S} = 10 \log_{10} \frac{P_0}{P_{4,\rm n} + P_{4,\rm f}} - a_{\rm M}$$

où:

 $P_0$  = puissance du générateur f. r.

 $a_{\rm M}$  = perte d'insertion du dispositif de mesure, conformément au paragraphe A5.5.6

Note.  $-P_{2 \text{ max}} = P_{2,n} + P_{2,f}$ 

Etalonnage du dispositif de mesure.

#### A5.5.6 Perte d'insertion du dispositif de mesure

Dans le dispositif de mesure présenté dans la figure 4-(A5.5), le conducteur extérieur (isolé) de l'éprouvette est relié au conducteur intérieur de la sortie du générateur.

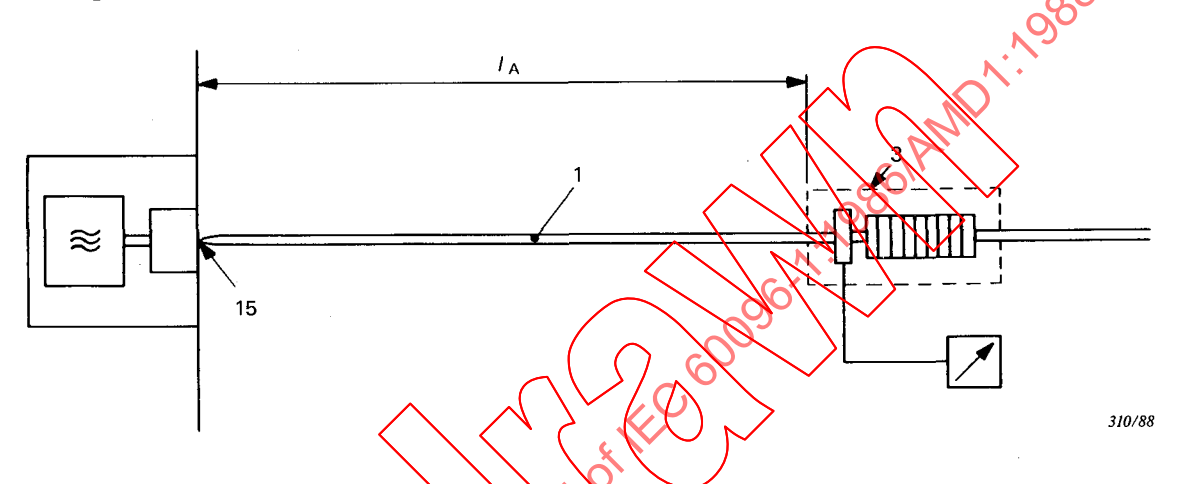


Fig. 4-(A5.5). – Mesure de la perte d'insertion.

Référence Désignation

1 Echantillon de câble

3 Pince absorbante

15 Correction du conductour extériour (ico

Cornexion du conducteur extérieur (isolé) de l'échantillon de câble 1 au conducteur intérieur du générateur

Distance entre la pinse absorbante et le point de connexion 15  $V_A = 1.0 \dots 5.0 \text{ m}$ , si f < 500 MHz 2.0 m, si f > 500 MHz

Tous les autres points sont identiques à ceux de la figure 1-(A5.5).

Les indications maximale et minimale du récepteur de mesure doivent être relevées lorsqu'en déplace la pince le long du câble. La perte d'insertion  $a_{\rm M}$  du dispositif de mesure est donnée par:

$$a_{\rm M} = \frac{1}{2} \left( 10 \log_{10} \frac{P_0}{P_{4,\rm max}} + 10 \log_{10} \frac{P_0}{P_{4,\rm min}} \right) - a_{\rm R} - a_{\rm c}$$

où:

 $P_0$  = puissance du générateur

 $\left\{\begin{array}{l} P_{4,\text{max}} \\ P_{4,\text{min}} \end{array}\right\}$  = puissance maximale et minimale relevées sur le récepteur de mesure 4

 $a_{\rm R}$  = affaiblissement de rayonnement en décibels

 $a_{\rm c}$  = affaiblissement d'étalonnage dû à la désadaptation entre l'impédance de sortie du générateur  $Z_1$  et l'impédance  $Z_2$  du circuit extérieur du conducteur extérieur, en décibels

where:

 $P_0$  = Power of the r. f. generator

 $a_{\rm M}$  = Insertion loss of the measuring set up, according to Sub-clause A5.5.6

Note. 
$$-P_{2 \text{ max}} = P_{2,n} + P_{2,f}$$

Calibration of the measuring set up.

## A5.5.6 Insertion loss of the measuring set up

In the measuring arrangement shown in Figure 4-(A5.5) the insulated outer conductor of the test specimen is connected to the inner conductor of the generator output.

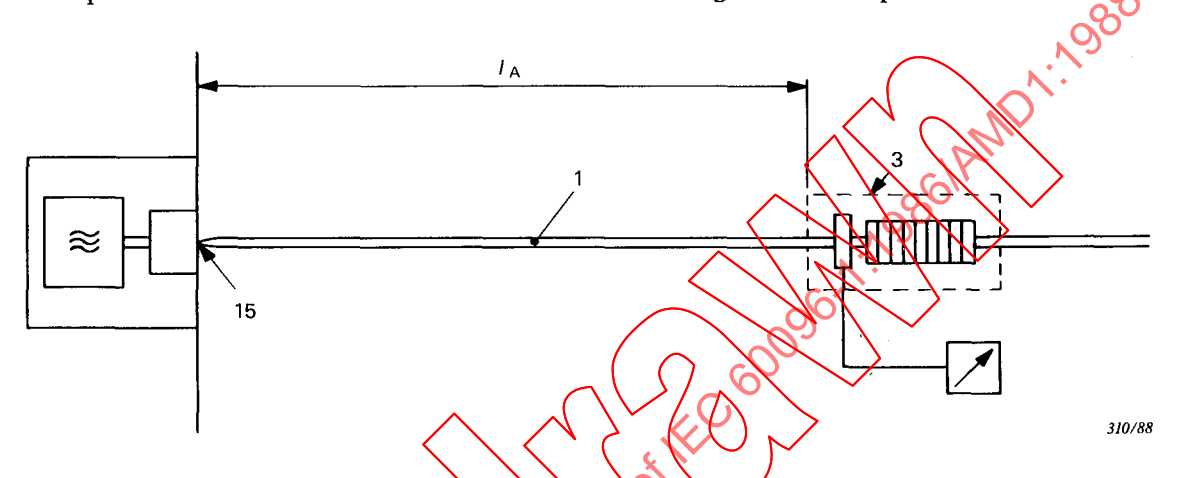


Fig. 4-(A5.5). Measurement of insertion loss.

Reference	tem \ \\\\\\\\\\\\\\\\\\\\\\\\\\\\\\\\\\
1	Cable sample
3	Absorbing clamp
15	Connection of insulated outer conductor of cable sample 1 to inner conductor of generator
$l_{A}$	Distance between absorbing clamp and connection point 15
	$A_A = 1.0 \dots 5.0 \text{m}$ if $f < 500 \text{MHz}$
	1.0 20m, if >500 MHz

All other items as in Figure 1-(A5.5).

The maximum and minimum readings of the measuring receiver (level meter) are to be observed when the clamp is moved along the cable. The insertion loss  $a_{\rm M}$  of the measuring set up is given by:

$$a_{\rm M} = \frac{1}{2} \left( 10 \log_{10} \frac{P_0}{P_{4,\rm max}} + 10 \log_{10} \frac{P_0}{P_{4,\rm min}} \right) - a_{\rm R} - a_{\rm c}$$

where:  $P_0$  = power of the generator

 $\frac{P_{4,\text{max}}}{P_{4,\text{max}}}$  = maximum and minimum power at the measuring receiver 4 (level meter)

 $a_{\rm R}$  = radiation loss in decibels

 $a_{\rm c}={\rm calibration\,loss}$ , due to the mismatch between generator output impedance  $Z_1$  and the impedance  $Z_2$  of the outer circuit of outer conductor, in decibels

Les pertes  $a_R$  et  $a_c$  respectivement doivent être calculées à partir de:

$$a_{\rm R} = 8.7 \ \frac{\log_{10} \left(22 \ \overline{l_{\rm A}} / \lambda\right)}{\log_{10} \left(0.27 \ \overline{l_{\rm A}} \ \lambda / d^2\right)}$$
 (1)

$$a_{\rm c} = 10 \log_{10} \frac{(Z_1 + Z_2)^2}{4Z_1 Z_2}$$

$$Z_2 = \left(\ln \frac{\lambda}{\pi d} - 0.6\right) \cdot 60 \ \Omega \tag{2}$$

où:

 $\overline{l_{\rm A}}$  = valeur moyenne de  $l_{\rm A}$  conformément à la figure 4-(A5.5)

 $\lambda$  = longueur d'onde en espace libre

d = diamètre extérieur du conducteur extérieur de l'échantillon de câble 4

## A5.5.7 Affaiblissement des dispositifs absorbants

L'affaiblissement des dispositifs absorbants doit être tel que les ondes réfléchies par la section de câble derrière le dispositif absorbant sont supprimées. Une valeur supérieure à 10 dB est nécessaire.

Le dispositif de mesure est présenté dans la figure 5-(A5.5).

Le dispositif absorbant à essayer doit être placé aussi pres que possible du point de connexion 15. L'espace doit être bien inférieur à un quant de la longueur d'onde dans le système secondaire.

Directement derrière le dispositif absorbant en essai, vu du générateur, le courant sur le conducteur extérieur du câble est mesure avec une pince absorbante (figure 5a-(A5.5)).

Le dispositif absorbant en essai est ensuite en evé et la pince absorbante est déplacée vers le point de connexion 15 (figure 5b (A5.5)). Le courant de la pince est mesuré à nouveau. La différence de niveau est l'affaiblissement du dispositif absorbant.

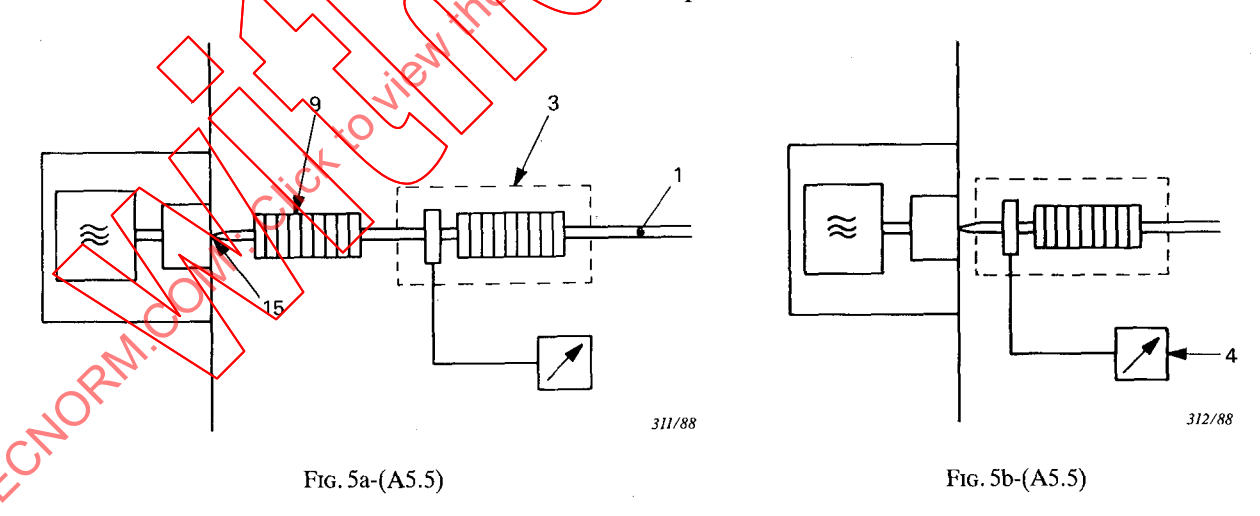


Fig. 5-(A5.5). – Mesure de l'affaiblissement des dispositifs absorbants.

#### A5.5.8 Dispositif de mesure utilisant des lignes de prolongation

La mesure de la perte d'insertion et de l'affaiblissement du dispositif absorbant doit être effectuée sur une ligne de prolongation, de la même façon que celle effectuée sur l'échantillon de câble, conformément aux paragraphes A5.5.6 et A5.5.7.

The losses  $a_R$  and  $a_c$  respectively are to be calculated from:

$$a_{\rm R} = 8.7 \frac{\log_{10} (22 \, \overline{l_{\rm A}} / \lambda)}{\log_{10} (0.27 \, \overline{l_{\rm A}} \, \lambda / d^2)} \tag{1}$$

$$a_{\rm c} = 10 \log_{10} \frac{(Z_1 + Z_2)^2}{4Z_1 Z_2}$$

$$Z_2 = (\ln \frac{\lambda}{\pi d} - 0.6) \cdot 60 \,\Omega \tag{2}$$

where:

 $\overline{l_A}$  = mean value of  $l_A$  according to Figure 4-(A5.5)

 $\lambda$  = free space wavelength

d = outer diameter of outer conductor of cable sample 1

### A5.5.7 Attenuation of the absorbers

The attenuation of the absorbers shall be such that waves reflected by the cable section behind the absorber are suppressed. A value above 10 dB is necessary.

The measuring arrangement is shown in Figure 5-(A)5.5).

The absorber to be tested shall be positioned as close as possible to connection point 15. The gap shall be much smaller than one-quarter of the wavelength in the secondary system.

Directly behind the absorber under test, as viewed from the generator, the current on the outer cable conductor is measured with an absorbing clamp (Figure 5a-(A5.5)).

The absorber under test is then removed and the absorbing clamp is moved forward to the connection point 15 (Figure 5b(A5.5)). The clamp current is measured again. The level difference is the attenuation of the absorber.

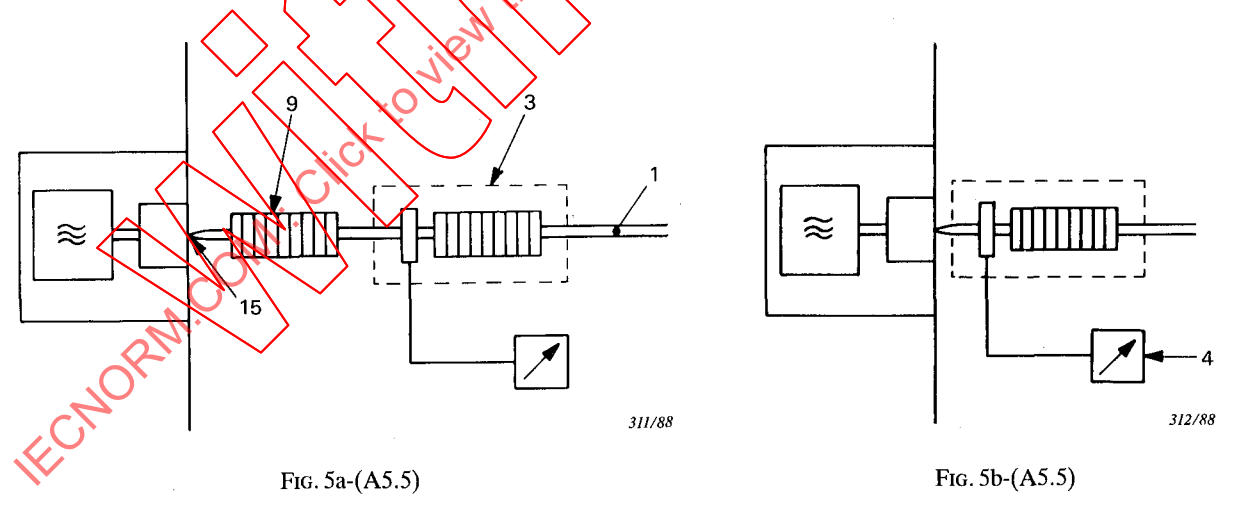


Fig. 5-(A5.5). – Measurement of attenuation of the absorbers.

#### A5.5.8 Measuring set up using extension lines

The measurement of insertion loss and absorber attenuation shall be made on an extension line in the same way as that carried out on the cable sample in accordance with Sub-clauses A5.5.6 and A5.5.7.

#### A5.5.9 Longueur minimale

La longueur effective de l'échantillon de câble est limitée par la pince absorbante et le tube de ferrite (voir figure 1-(A5.5)). Pour déterminer la puissance maximale dans le système secondaire, l'échantillon de câble doit avoir au moins la longueur effective suivante:

$$l_{\text{eff}} \ge l_{\text{min}} = \frac{150}{f_{\text{min}}} \cdot \frac{v_{\text{r},2} \cdot v_{\text{r},1}}{v_{\text{r},2} - v_{\text{r},1}} \text{ pour } v_{\text{r},1} \ne v_{\text{r},2}$$

où:

 $l_{\text{eff}}$  = longueur effective de l'échantillon de câble en mètres

 $f_{\min}$  = fréquence de mesure la plus basse en mégahertz

 $v_{r,1}$  = vitesse relative de propagation dans le système primaire

 $v_{r,2}$  = vitesse relative de propagation dans le système secondaire

Si l'on ne connaît pas  $v_{r,2}$ , la valeur 0,95 doit être utilisée.

Note. - Correction en cas de longueur plus courte.

Si la longueur de câble minimale nécessaire obtenue par ce calcul ne peut être retenue, on peut utiliser un échantillon de câble plus court de longueur réelle. Dans ce cas, la puissance de diaphonie mesurée à l'extrémité éloignée doit être divisée par

$$\sin^2\left(\frac{\pi}{2} \left(l_{\text{réelle}}\right) l_{\text{min}}\right)$$

Note. - Application de l'affaiblissement d'écran dans la conception d'un système.

Si une valeur limite de la puissance rayonnée  $P_{\text{max}}$  est spécifiée pour un câblage fonctionnant avec la puissance  $P_1$ , seuls des câbles avec un affaiblissement d'écran:

$$a_{\rm S} \geqslant P_1 - P_{\rm r \ max}$$

sont utilisables pour ce système.

Un système existant constitué de câbles dont l'affaiblissement d'écran est  $a_s$  peut seulement fonctionner avec une puissance:

$$P_1 \leq P_{\rm r|max} + a_{\rm s}$$

si une valeur limite est spécifiée pour la puissance rayonnée.

où:

R<sub>1</sub> puissance à l'entrée du câble en dB/μW

 $P_{\rm r max}$  valeur limite de la puissance rayonnée en dB/ $\mu$ W

# A5.6 Références

Les textes cités ci-dessous ne sont mentionnés qu'à titre indicatif; ils ne sont pas disponibles auprès du Bureau Central de la CEI.

- 1. Siegel, E., Labus, S., Scheinwiderstand von Antennen, Hochfrequenz und Elektroakustik 43 (1934), pp. 166–172.
- 2. Schelkunoff, S. A., Friis, H. T., Antennae (Wiley, New York, 1952).
- 3. Szentkuti, B., Peurala, A., New views on the absorbing clamp, Electromagnetic Compatibility 1983, pp. 381–396 (ETH, Zurich).